

## بررسی و تحلیل شاخص‌های ژئومورفیک و ارتباط آن با مورفو-تکتونیک فعال در مناطق خشک (پلایای اردستان)

مصطفی خبازی (استادیار ژئومورفولوژی، دانشگاه شهید باهنر کرمان، کرمان، ایران، نویسنده مسؤول)

mostafakhabazi@uk.ac.ir

میثم شهبازی (دانشجوی دکتری شهرسازی، دانشگاه هنر اصفهان، اصفهان، ایران)

maysam.shahbazi@yahoo.com

صفحه ۶۵-۴۵

### چکیده

اهداف: هدف پژوهش حاضر، بررسی فعالیت‌های تکتونیکی حوضه آبخیز اردستان با رویکرد کمی است. نویسنده‌گان سعی کردن از شاخص‌هایی استفاده شود که کمتر محاسبه شده باشد؛ بنابراین با توجه به اعتبار شاخص‌های ژئومورفیک در مطالعات ژئومورفولوژی، برای ارزیابی فعالیت‌های کواترنری پلایای اردستان، به محاسبه شاخص‌های شکل حوضه (BS)، حجم به سطح حوضه (VA)، تراکم سطحی آبراهه (P)، انشعاب‌پذیری (BR)، انگرال‌هیسومتری<sup>۱</sup> حوضه (HI) و سینوزیته جبهه کوهستان (smf) مبادرت شد.

روشن: در این پژوهش ابتدا با روش کتابخانه‌ای و تحلیل منابع، ۱۱ روش کمی استخراج شد سپس مناسب با موقعیت منطقه که در ناحیه خشک و بیابانی ایران مرکزی قرار گرفته، ۶ شاخص سازگار و متنطبق با مناطق خشک و اندیس‌هایی که با مورفو-لوله‌ای حوضه و شبکه زهکشی ارتباط بیشتری داشتند، محاسبه شدند. سپس برای ارزیابی فعالیت‌های تکتونیکی از شاخص‌های شکل حوضه (BS)، حجم به سطح حوضه (VA)، تراکم سطحی آبراهه (P)، انشعاب‌پذیری (BR)، انگرال‌هیسومتری حوضه (HI) و سینوزیته جبهه کوهستان (smf) استفاده شد.

یافته‌ها/نتایج: نتایج این پژوهش که با شاخص Lat برآورده شده، نشان می‌دهد که بخش‌های شمال غرب و جنوب غرب محدوده مورد مطالعه از نظر تکتونیک بسیار فعال‌تر از قسمت‌های مرکزی و شرقی حوضه است. به طوری که حوضه‌های باد- خالدآباد با  $Lat=2^{\circ}$  و طرق- ایازن با

1. Hipsometry integral

دارای فعالیت تکتونیکی زیاد و حوضه‌های اردستان  $Lat=23^{\circ}33'$  و دقیق با  $Lat=18^{\circ}33'$

دارای فعالیت زمین‌ساختی متوسط هستند.

**نتیجه‌گیری:** به نظر می‌رسد فعالیت بخش‌های شمال غرب و جنوب غرب محدوده به عبور گسل-

های مهم قم - زفره و نظرن مریبوط می‌شود؛ این در حالی است که به رغم نبود پیشینه لرزه‌خیزی

قابل توجه، مناطق فوق می‌توانند بیشترین توان حرکتی را در آینده داشته باشد.

**کلیدواژه‌ها:** مورفوتکتونیک، نئوتکتونیک، پالایای اردستان، شاخص‌های ژئومورفیک.

#### ۱. مقدمه

ناحیه مورد مطالعه در نیمه میانی ایران و در زون تکتونیکی ایران مرکزی قرار دارد. بلوک-های ساختمانی در این بخش از ایران نتیجه فرآیند تکتونیکی آپین جوان هستند. به طور کلی قدیمی‌ترین فاز کوه‌زایی حوضه مربوط به اواخر پرکامبرین<sup>۱</sup> است که منجر به دگرگونی و تشکیل سنگ‌های کمدگون شده است. پس از آن در تمام طول پرکامبرین پسین (اینفرکامبرین) و پالئوزوئیک و نیز اوایل مزوژوئیک<sup>۲</sup> ناحیه تحت کنش‌های قاره‌زایی قرار می‌گیرد و این عامل باعث خروج مکرر از دریا و فرسایش آن می‌شود که نتیجه آن نبودهای چینه شناسی در این فاصله زمانی است. در اواخر تریاس، ناحیه تحت نبودهای کوه‌زایی قرار می‌گیرد و طبقات آن چین می‌خورند و بار دیگر با خروج قسمت‌هایی از ناحیه از آب فرسایش شدیدتر برقرار می‌شود. سپس نهشته‌های آواری مربوط به پیش روی دریای ژوراسیک روی سنگ‌های مختلفی قرار می‌گیرد که سن آنها از پرکامبرین تا تریاس پیشین است. در ژوراسیک<sup>۳</sup> و کرتاسه<sup>۴</sup> به جز حرکات قاره‌زایی که نبودهای چینه‌شناسی را به همراه دارد، حادثه مهمی رخ نمی‌دهد. در پایان کرتاسه و اوایل ترشیر با حرکات مجدد کوه‌زایی چین خوردگی طبقات تشدید می‌شود. این حرکات در طول ترشیر<sup>۵</sup> همراه با فعالیت‌های ماگمایی ادامه می‌یابد

- 
1. Precambrian
  2. Paleozoic-Mesozoic
  3. Jurossic
  4. Creataceous
  5. Tertiary

و نتیجه آن ترادف سنگ‌های ولکانیکی ضخیم و نهشته‌های توفی ائوسن است (گاهی آندزیتی) که بر روی سنگ‌های چین خورده کرتاسه به طور دگرشیب قرار می‌گیرند. روند کلی ساختمان‌های اصلی زمین‌شناسی در ناحیه منطبق با روند عمومی زون‌های تکتونیکی سنندج - سیرجان و زاگرس است. این ناحیه به دلیل برخورداری از شرایط پیچیده تکتونیکی دارای گسل‌های متعدد است. از جمله گسل درونه در شمال، گسل نائین - بافت و مهم‌ترین آن گسل راستگرد قم - زفره با امتداد عمومی شمال غربی - جنوب شرقی بوده که از دره تکتونیکی شهر نظر - بزمان عبور و احتمالاً در به وجود آمدن فعالیت‌های ماقمایی و آتش‌فشانی ائوسن<sup>۱</sup> نقش دارد. از دیگر ویژگی‌های تکتونیکی ناحیه، فرورفتگی قم - اردکان است که ناحیه مورد مطالعه در بخش جنوی آن قرار دارد. از دیدگاه تکتونیکی این فرورفتگی در دو مرحله ساختمانی در طی دوره‌های الیگومیوسن و پلیوسن - کواترنری شکل گرفته است. با شروع دوره الیگوسن، همزمان با فعالیت‌های کوه‌زایی، حوضچه‌های کوچک شکل می‌گیرد که محل انباشت مواد ناشی از فرسایش متعلق به بخش پائینی سازند قم<sup>۲</sup> شده است. در این مرحله بخش اعظم ناحیه غیر از نقاطی که نهشته‌های قاره‌ای سازند قم گسترش دارند، در زیر دریا قرار می‌گیرد. در مرحله پلیوسن در نتیجه فرونشست‌ها حوضه‌ها به هم پیوسته و فرورفتگی قم - اردکان و همچنین کویر بزرگ شکل می‌گیرد. در پایان الیگوسن و ابتدای میوسن با پیشروی دریا، ناحیه در زیر آب قرار می‌گیرد. سپس با عقب‌نشینی دریا در پایان میوسن محیط دریابی تبدیل به محیط کولاپی می‌شود و نهشته‌های بخش بالائی زون تکتونیکی قم<sup>۳</sup> را بر جای می‌گذارد.

نئوتکتونیک مطالعه حرکات افقی و قائم پوسته زمین از اوخر نوشون و کواترنر است. برای نئوتکتونیک تعاریف زیادی وجود دارد. محققان بسیاری نئوتکتونیک را آغاز حرکات پوسته ای زمین بعد از جوانترین فاز کوه‌زایی تعریف کرده اند (استپانکیکووا<sup>۴</sup>، استمبرک<sup>۵</sup>، ۲۰۰۸، ص. ۶۸). با توجه به این‌که امکان دسترسی به داده‌های دیرین لرزاگ در بسیاری از نقاط وجود ندارد و از طرفی دیگر

- 
1. Eocene
  2. L.R.Fm
  3. U. R.Fm
  4. Stepancikova
  5. stembrek

بعضی از روش‌های تعیین تکتونیک فعال (روش‌های لرزه‌نگاری) بسیار هزینه‌بر هستند، استفاده از شاخص‌های مورفومتری برای تعیین و تشخیص تکتونیک‌های فعال دارای اهمیت زیاد است؛ بنابراین شاخص‌های ژئومورفیک ابزار سودمندی برای تحلیل اشکال زمینی و ارزیابی فعالیت‌های تکتونیکی در نواحی مختلف به شمار می‌آیند.

هدف پژوهش حاضر، بررسی فعالیت‌های تکتونیکی حوضه آبخیز اردستان با رویکرد کمی است. در این رابطه با تحقیق و جست‌وجو در مقالات، منابع داخلی، خارجی و مقایسه آن‌ها با یکدیگر دریافتیم اکثر محققان به بررسی پارامترهایی نظری شاخص‌های سینوسی جبهه کوهستان (smf)، نسبت پهنه‌ای کف دره به ارتفاع آن (Vf)، درصد جبهه‌های کوهستانی ممتد (Eu) و شاخص‌های تحلیل شبکه‌های زهکشی از قبیل گرادیان طولی رودخانه (SL)، عامل عدم تقارن حوضه (AF)، عامل تقارن توپوگرافی (T) پرداخته‌اند؛ بنابراین نویسنده‌گان سعی کردند از شاخص‌هایی استفاده شود که کمتر محاسبه شده باشد؛ بنابراین با توجه به اعتبار شاخص‌های ژئومورفیک در مطالعات ژئومورفولوژی، برای ارزیابی فعالیت‌های کواترنری پلایای اردستان، به محاسبه شاخص‌های شکل حوضه (BS)، حجم به سطح حوضه (VA)، تراکم سطحی آبراهه (P)، انشعاب‌پذیری (BR)، انتگرال‌هیپسومتری<sup>۱</sup> حوضه (HI) و سینوزیته جبهه کوهستان (smf) اقدام شد.

## ۲. پیشینه پژوهش

دانشمندان علوم زمین و به ویژه ژئومورفولوژیست‌ها برای تحلیل اشکال زمینی و ارزیابی فعالیت‌های تکتونیکی در نواحی مختلف دنیا از شاخص‌هایی تحت عنوان شاخص‌های ژئومورفیک استفاده می‌کنند. شاخص‌های ژئومورفیک در سراسر دنیا به ویژه در مناطق خشک و نیمه‌خشک توسط افراد زیادی مانند بول و مک فادن<sup>۲</sup> (۱۹۷۷)، ولز<sup>۳</sup> (۱۹۸۸)، رمیرز حراء<sup>۴</sup> (۱۹۹۸)، کونگ و زوچویز<sup>۵</sup> (۲۰۰۱)

- 
1. Hipsometry integral
  2. Bull, Macfadden
  3. Wells
  4. Ramirez-Herreia
  5. Couong, Zuchiewicz

سیلو<sup>۱</sup> (۲۰۰۳)، چن<sup>۲</sup> (۲۰۰۳)، زویلی و کونستانتینیدی و کوکوولز<sup>۳</sup> (۲۰۰۴)، وریوس، زیگوری و کوکلاس<sup>۴</sup> (۲۰۰۴)، هارکینز، آناستاسیو و پازالیا<sup>۵</sup> (۲۰۰۵)، فرانکل و پارزاگلیا<sup>۶</sup> (۲۰۰۶)، گارنیر و پیروتا<sup>۷</sup> (۲۰۰۸)، الحمدونی، ایری گاری، فرناندز، کاکونی و کلر<sup>۸</sup> (۲۰۰۸)، کالی و شجوالکار<sup>۹</sup> (۲۰۰۸)، گوربوز و گارور<sup>۱۰</sup> (۲۰۰۸)، ریولند و فورس<sup>۱۱</sup> (۲۰۱۰)، محاسبه شده است. در ایران نیز سلیمانی (۱۳۷۸)، خیام و مختاری (۱۳۸۲)، مددی، رضایی مقدم و رجایی<sup>۱۲</sup> (۱۳۸۳)، رادفر و پورکرمانی (۱۳۸۴)، رجبی، روستایی و مقامی<sup>۱۳</sup> (۱۳۸۵)، حقی پور<sup>۱۴</sup> (۱۳۸۶)، مقصودی<sup>۱۵</sup> (۱۳۸۷)، کرمی<sup>۱۶</sup> (۱۳۸۷)، خطیبی<sup>۱۷</sup> (۱۳۸۸)، زرگرزاده، رنگزنه، چرچی و آبشیرینی<sup>۱۸</sup> (۱۳۸۹)، یمانی<sup>۱۹</sup> (۱۳۸۹)، امیریان چافجیری و قرشی<sup>۲۰</sup> (۱۳۸۹)، شریفی نجف‌آبادی<sup>۲۱</sup> (۱۳۸۹)، شاخص‌های ژئومورفیک را در سال‌های اخیر محاسبه کرده‌اند.

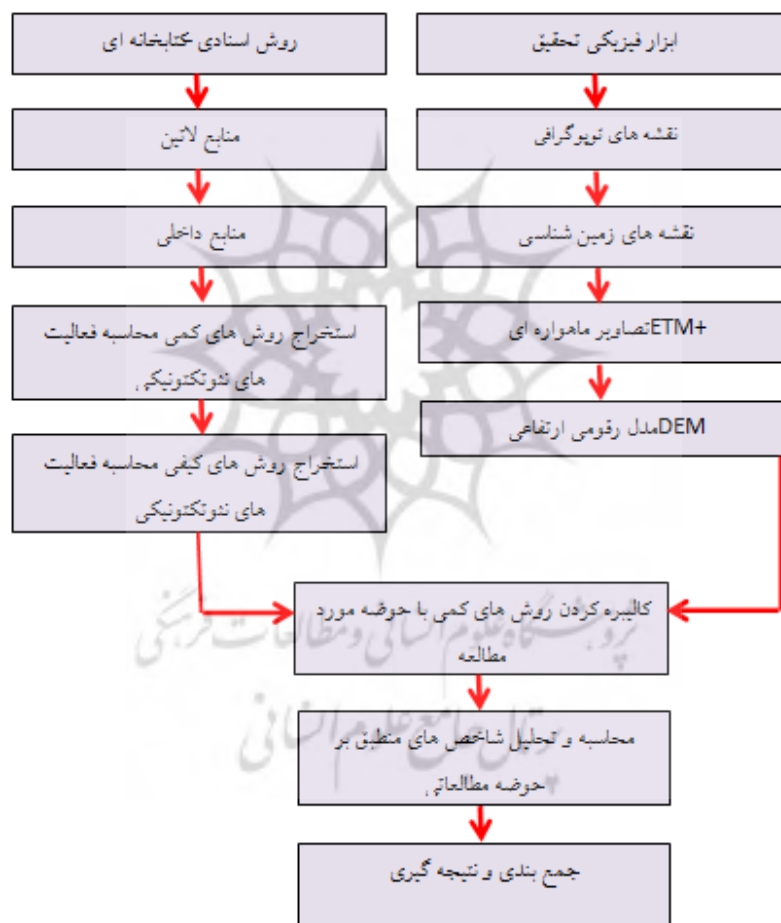
### ۳. روش‌شناسی

#### ۳.۱. روش تحقیق

در این پژوهش ابتدا با روش کتابخانه‌ای به جمع‌آوری مقالات، کتب و منابع داخلی و خارجی پرداخته و از نقشه‌های توپوگرافی ۱/۵۰۰۰۰ و تصاویر ماهواره‌ای ETM+ 2008 جهت تعیین و مرزبندی منطقه، نقشه‌های زمین‌شناسی ۱/۱۰۰۰۰ به منظور استخراج لایه گسل‌ها و DEM محدوده برای برخی محاسبات استفاده شد. سپس در فرایند تحلیل، ۱۱ روش کمی برای محاسبه میزان فعالیت نئوتکتونیکی (با توجه به شرایط زمین‌شناسی، لیتولوزیکی و هیدرولوزیکی) و ۱۵ روش کیفی جهت تحلیل‌های توصیفی تکتونیکی مطرح شد (جدول ۱ و ۲).

- 
۱. Silva  
 2. Chen  
 3. Zovili, Konstantinidi, Koukouvelas  
 4. Verrious, Zygouri, kokkalas  
 5. Harkins, Anastasio, Pazzalia  
 6. Frankel, pazzaglia.  
 7. Guarnieri , Pirrotta  
 8. EL Hamdouni, Irigary, Fernande, Chacon.y, keller  
 9. Kali, Shejwalkar  
 10. Gurbus, Gurer  
 11. Riolound, Foures

در مرحله بعد با توجه به اطلاعات پایه‌ای به کالیبره کردن روش‌های کمی با حوضه‌های مورد مطالعه مبادرت شد. در این راستا سعی شد هریک از روش‌ها با محدوده مورد بررسی همخوانی و تطابق داشته و از پارامترهایی استفاده شود که سایر محققین رئومورفولوژی کمتر به کار برده‌اند. در نهایت با روش تجربی و با استفاده از نرم‌افزار ARC GIS 9.3 به محاسبه شاخص‌های شکل حوضه (BS)، حجم به سطح حوضه (VA)، تراکم سطحی آبراهه (P)، انشعاب پذیری (BR)، انتگرال هیپسومتری حوضه (HI) و سینوزیته جبهه کوهستان (smf) اقدام شد.



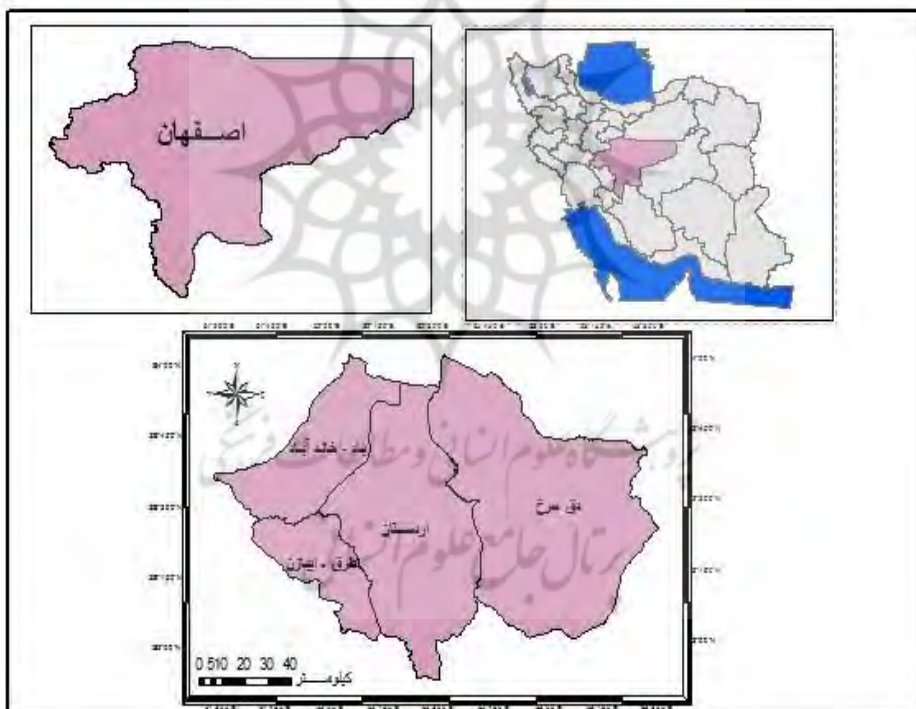
شکل ۱- مراحل انجام پژوهش

مأخذ: نگارندگان، ۱۳۹۲

## ۲.۳. منطقه مورد مطالعه

منطقه مورد مطالعه در محدوده عرض‌های ۳۲ درجه و ۵۲ دقیقه و ۵۶ ثانیه تا ۳۴ درجه و ۱ دقیقه و ۱۹ ثانیه شمالی و محدوده طول‌های ۵۱ درجه و ۲۷ دقیقه و ۵۰ ثانیه تا ۵۳ درجه و ۳۱ دقیقه و ۱۹ ثانیه شرقی قرار دارد.

این منطقه در دامنه شمالی زون سنتدج- سیرجان و در بخش جنوبی و قسمت میانی زون تکتونیکی ایران مرکزی قرار گرفته است. از نظر ریخت‌شناسی ارتفاع دربرگیرنده داشت به دلیل ماهیت لیتوژئوگرافیکی (اکثراً آذربین) و پایداری نسبی در مقابل عوامل فرسایشی، کمتر دستخوش تغییرات شده و عموماً سطوح های بلندی را می‌سازند.



شکل ۲- موقعیت جغرافیایی منطقه مورد مطالعه

مأخذ: نگارنده، ۱۳۹۲

## ۴. مبانی نظری تحقیق

## جدول ۱- روش‌های کمی محاسبه تکنونیک فعال

مأخذ: نگارنده، ۱۳۹۲

عنوان	شاخص	نحو محاسبه
پستی و بلندی‌های نومن	شاخص انگرال ذرازنا (متغیر) هیبرودری	$Hl = \frac{\Delta H - MinH}{MaxH - MinH}$
	شاخص حجم به سطح خوبه	$\frac{V}{A} = \frac{Vf}{Af}$
شكل خوبه	شاخص شکل خوبه	$BS = \frac{Bl}{BW}$
	نسب کاشیدگی خوبه	$Re = \left( 2 + \frac{A}{L} \right) BL$
تفاوت عرضی خوبه	شاخص عدم تقارن آبراهه	$Af = \frac{Ar}{At}$
	شاخص تقارن تیپوگرافی عرضی	$T = \frac{Dg}{Dd}$
وضعیت نیم‌رخ رودخانه	شاخص گردابیان شبب روز	$SL = \frac{\Delta H}{\Delta L} \times L$
پیچ و خم	پیچ و خم رودخانه	$S = \frac{\zeta}{V}$
وضعیت آبراهه‌ها	شاخص تراکم سطحی آبراهه‌ها	$P = \frac{\sum Lt}{A}$
	شاخص انتساب پلیپری	$\left[ \frac{1}{N-1} \right] BR = \left[ \frac{N_1}{N_2} + \frac{N_2}{N_3} + \dots + \frac{N_{n-1}}{N_n} \right]$
وضعیت پیشانی کوهستان	شاخص پیچ و خم جبهه کوهستان	$Smf = \frac{Lmf}{Ls}$
وضعیت جبهه کوهستان	شاخص های سطوح امتداد جبهه کوهستان	$Face \% = \frac{Lf}{Ls}$
	شاخص های سطوح امتداد جبهه کوهستان	$Fd = \frac{Lmf}{Ls}$
شكل در	شاخص نسبت بهای کف در به ارتفاع در	$Vf = \frac{2Vfw}{[(Eld - Esc) + (Erd - Esc)]}$
شكل در	شاخص نسبت مساحت در به مساحت زمین در	$V = \frac{Av}{Ac}$
وزنگی‌های معمولی افقی	شاخص وسعت محدوده افقی	$Af = CAdn$

## جدول ۲- پارامترهای کیفی جهت شناخت تکتونیک فعال

ماحد: نگارنده، ۱۳۹۲

آبراهه‌های منحرف شده	دره های خطی	خرش لغزه‌های گسل	پشهنه فشارشی و حوضه های کششی	چشم‌های آب گرم و سرد
آبراهه‌های جله جا شده	حرکات دامنه‌ای	سکوها	پشهنه‌های مسلود کشند	دگر شکلی و خمیدگی تراس‌های آبرفتی
پرتوگاههای گسلی	آشاره‌ها	شیب دامنه‌ها	استخراج‌های فرونشی	عدم وجود کوهچایه و یا ویسعت بسیار کم آن

۴. ۱. شاخص انتگرال هیپسومتری (منحنی واحد) یا منحنی بی بعد<sup>۱</sup>

منحنی ارتفاع‌سنگی از پیاده کردن نسبت کل ارتفاع حوضه (ارتفاع نسبی) در مقابل نسبت کل مساحت حوضه (مساحت نسبی) به وجود می‌آید. یک روش ساده برای مشخص کردن شکل منحنی ارتفاع‌سنگی برای یک حوضه زهکشی خاص محاسبه انتگرال ارتفاع‌سنگی است. انتگرال به صورت مساحت زیر منحنی یاد شده است و روش محاسبه آن به صورت زیر است.

$$\text{ارتفاع حداقل} \circ \text{ارتفاع}$$

$$Hi = \frac{\text{ارتفاع حداقل} \circ \text{ارتفاع}}{(1)}$$

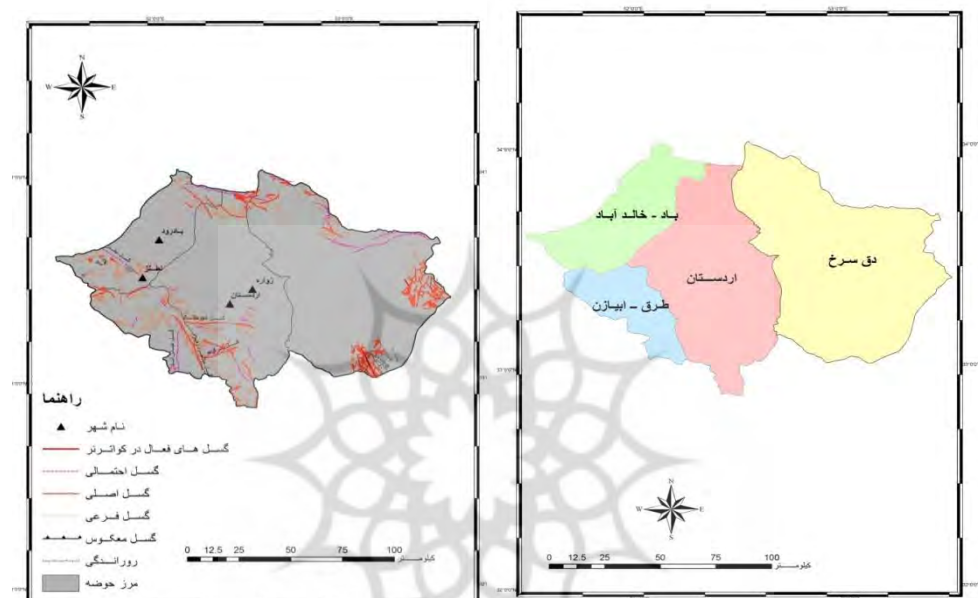
$$\text{ارتفاع حداقل} \circ \text{ارتفاع}$$

مقادیر بزرگ این انتگرال نشانه بزرگ بودن بیشتر توپوگرافی نسبت به میانگین است. رابطه بین انتگرال ارتفاع‌سنگی و درجه توسعه و تجزیه<sup>۲</sup> اجازه می‌دهد تا به عنوان یک معرف از مراحل یک چشم انداز تکتونیکی در چرخه فرسایش به کار گرفته شود.

برای محاسبه شاخص انتگرال هیپسومتری ابتدا، حوضه مورد مطالعه به ۴ زیر‌حوضه تقسیم شد (شکل ۱). سپس در محیط GIS انتگرال ارتفاع‌سنگی (هیپسومتری) محاسبه شد (جدول ۳). انتگرال ارتفاع سنگی در قسمت شمال غرب - جنوب غربی و غرب بیشترین مقدار (۰/۲۳ و ۰/۳۰) و در نتیجه از نظر تکتونیکی فعال‌تر بوده ولی در مرکز و شرق کمترین (۰/۱۵۴ و ۰/۱۹۸) مقدار را داشته و کمترین فعالیت

- 
1. Hypsometric integral
  2. Dissection

تکتونیکی را از خود نشان می‌دهد. این مسأله با سایر شواهد زمین‌شناسی و ژئومورفولوژیکی تطابق دارد؛ زیرا از نظر زمین‌شناسی کمترین میزان گسل در شرق حوضه مورد مطالعه مشاهده می‌شود (شکل ۴) و از منظر ژئومورفولوژیکی، شرق حوضه دقیقاً متنطبق بر پایایی دق سرخ است که به عنوان حوضه انتهائی شبکه آب‌های منطقه قلمداد می‌شود و از فعالیت تکتونیکی کمتری برخوردار است.



شکل ۴- نقشه گسل‌های منطقه

ماخذ: نگارنده، ۱۳۹۲

شکل ۳- زیرحوضه‌های حوضه آبخیز دق سرخ

ماخذ: نگارنده، ۱۳۹۲

جدول ۳- انتگرال ارتفاع سنجی به دست آمده برای حوضه‌های مورد مطالعه

ماخذ: نگارنده، ۱۳۹۲

نام حوضه	حداقل ارتفاع (M)	حداکثر ارتفاع (M)	متوسط ارتفاع (M)	حداکثر ارتفاع (M)	متوسط ارتفاع (M)	حداقل ارتفاع (M)	حداکثر ارتفاع (M)	متوسط ارتفاع (M)	نام	کلاس فعالیت	انتگرال ارتفاع سنجی	انحراف معیار شب (‰)	متوسط شب (%)	حداکثر شب (%)	انحراف معیار شب (‰)	متوسط شب (%)
باد خالد آباد	۹۵۴/۳۲	۳۸۲۷/۴۱	۱۵۲۳/۴۶	۶۰۰/۵۴	۶۱/۰۳	۴۷/۲۳	۳۱۳/۸۵	۲۱۱۳/۷۱	۹۴۳۸۴۰	۱۳۵۷/۱۷	۱	۰/۳۰	۷/۰۲	۷/۹۸	۴۷/۲۳	۳۰/۸/۸۷
طرق ابیازن	۹۲۲/۲۹	۳۲۳۱/۰۸	۱۴۷۰/۵۳	۵۲/۸۴	۵۲/۸۴	۴۷/۲۳	۳۱۳/۸۵	۲۱۱۳/۷۱	۹۴۳۸۴۰	۱۳۵۷/۱۷	۲	۰/۲۳	۵/۸۹	۴/۵۵	۵۶/۹۳	۳۰/۸/۴۱
ارdestan	۹۳۰/۰۹	۲۸۹۷/۵۹	۱۲۳۳/۲۶	۳۰/۸/۴۱	۳۰/۸/۴۱	۴۷/۲۳	۳۱۳/۸۵	۲۱۱۳/۷۱	۹۴۳۸۴۰	۱۳۵۷/۱۷	۳	۰/۱۵	۳/۴۵	۲/۴۲	۵۶/۹۳	۳۰/۸/۴۱
دق سرخ	۹۳۰/۰۹	۲۸۹۷/۵۹	۱۲۳۳/۲۶	۳۰/۸/۴۱	۳۰/۸/۴۱	۴۷/۲۳	۳۱۳/۸۵	۲۱۱۳/۷۱	۹۴۳۸۴۰	۱۳۵۷/۱۷	۳	۰/۱۹	۸/۴۹	۶/۴۹	۶۱/۰۳	۶۰۰/۵۴

#### ۴. ۲. شاخص سینوزیته جبهه کوهستان یا پیچ و خم پیشانی کوهستان<sup>۱</sup> (Smf)

پیچ و خم جبهه کوهستان (Smf) شاخصی است که تعادل و توازن بین شرایط آب و هوایی و نیروهای فرسایشی لیتولوژی و نیروهای تکتونیکی که موجب ایجاد جبهه کوهستان مستقیم که منطبق با کوهستان‌های جهش‌یافته با گسل فعال می‌باشند را نشان می‌دهد. پیچ و خم جبهه کوهستان با صورت زیر تعریف می‌شود.

$$Smf = \frac{Lmf}{Ls} \quad (2)$$

Smf: پیچ و خم جبهه کوهستان، Lmf: طول جبهه کوهستان و دشت، LS: طول خط مماس بر جبهه کوهستان.

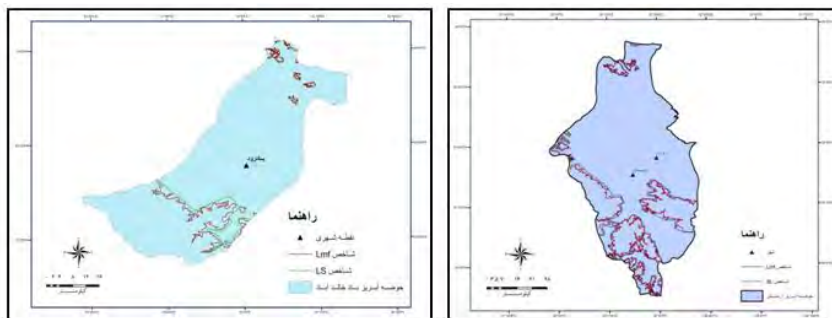
شاخص سینوزینه، جداول بین نیروهای فرسایش‌دهنده که سعی در فرسایش دادن جبهه کوهستان را دارند از یک طرف و نیروی تکتونیکی که باعث ایجاد نیروی صاف و مستقیم می‌شود را از طرف دیگر بیان می‌کند، حال اگر نیروهای فرسایش‌دهنده غلبه داشته باشند، نرخ بالای Smf نشان داده می‌شود و اگر نیروهای تکتونیکی فعال باشند، عدد Smf کمتر خواهد بود. به عبارت دیگر از نظر کمی شاخص Smf برای مناطق بسیار فعال تکتونیکی بین (۱ تا ۱/۶)، برای مناطق با فعالیت متوسط بین (۱/۴ تا ۳) و برای جبهه کوهستانی غیرفعال از حدود ۱/۸ تا بیشتر از ۵ است (مدیدی، رضابی مقدم، رجایی، ۱۳۸۴، ص. ۱۲۴).

جدول ۴- محاسبه شاخص سینوزیته جبهه کوهستان

مأخذ: نگارنده، ۱۳۹۲

نام حوضه	Lmf(M)	LS(M)	Smf	کلام فعالیت
پاد- خالد آباد	۲۹۹۱۱۸/۲۲	۱۱۱۹۱۰/۱۶	۲/۶۷	۲
طرق- ایلان	۷۱۶۰۵۰/۰۲	۶۶۶۱۹۱/۹۱	۱/۰۷	۱
ارمنستان	۱۲۶۷۳۲۲/۴۱	۶۵۶۹۷۳/۹۴	۱/۹۲	۲
دق سرخ	۹۷۲۲۷۵۰/۸۱	۴۸۶۹۴۴/۲۶	۲	

1. mountain front sinuosity



شکل ۵- نقشه شاخص سینوزیته جبهه

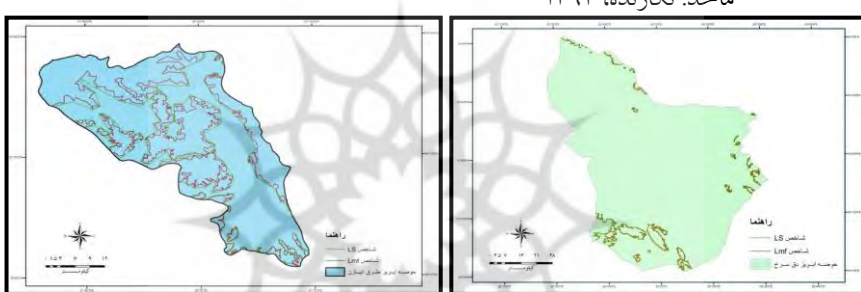
کوهستان برای حوزه باد خالدآباد

مأخذ: نگارنده، ۱۳۹۲

شکل ۶- نقشه شاخص سینوزیته جبهه

کوهستان برای حوزه اردستان

مأخذ: نگارنده، ۱۳۹۲



شکل ۷- نقشه شاخص سینوزیته جبهه

کوهستان برای حوزه طرق ایازن

مأخذ: نگارنده، ۱۳۹۲

شکل ۸- نقشه شاخص سینوزیته جبهه

کوهستان برای حوزه دق سرخ

مأخذ: نگارنده، ۱۳۹۲

**۴.۳. شاخص شکل حوضه (BS)**

حوضه‌های فعال تکتونیکی، شکل کشیده‌ای دارند. شکل حوضه در طول زمان با توقف میزان بالا آمدگی، به تدریج دایره می‌شود (بربنک و اندرسون<sup>۱</sup>، ۲۰۰۳، ص. ۲۰۳) مطالعات سایر محققان نیز این موضوع را ثابت کرده است رامیز<sup>۲</sup> (۱۹۹۸)، گوربوز و پیروتا (۲۰۰۸) و مختاری (۱۳۸۴). به عبارت دیگر در مناطق کوهستانی هرچه شکل حوضه کشیده‌تر باشد، از فعالیت زمین‌ساختی بیشتری برخوردار است و با گذشت زمان و پیشدن حوضه شکل آن به دایره نزدیک می‌شود. در مناطق فعال زمین‌ساختی عرض

- 
1. Burbank and Anderson
  2. Ramiz

حوضه‌های آبریز باریک‌تر است؛ زیرا در چنین مناطقی نیروی رودخانه صرف ژرف کردن بستر خود می‌شود، در حالی که پایداری زمین‌ساختی باعث می‌شود رودخانه فرصت تعريض بستر خود را داشته باشد.

$$\text{نسبت شکل حوضه با رابطه } \frac{BI}{BW} = \frac{BI}{BW} \text{ بیان می‌شود.}$$

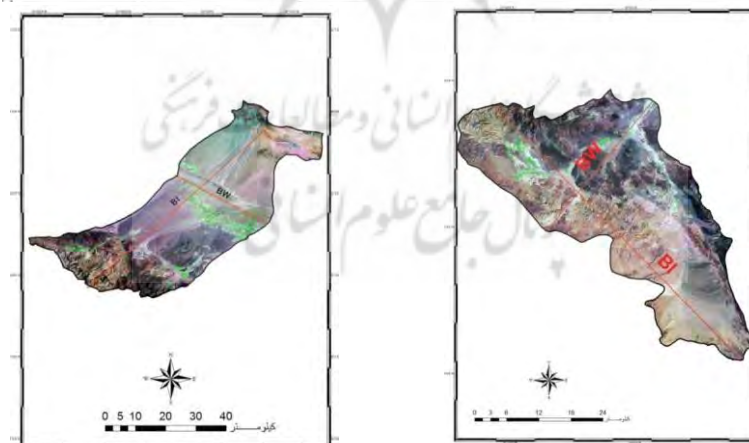
: نسبت شکل حوضه، BI، اندازه طول حوضه از انتهایی ترین مقسم آب تا خروجی حوضه، BW: پهنه‌ای حوضه در پهن‌ترین قسمت.

حوضه‌هایی که با مقادیر زیاد BS یعنی بیشتر از ۴ مشخص می‌شوند، از نظر تکتونیکی فعال هستند. زمانی که BS بین ۳ تا ۴ باشد، حوضه‌ها از نظر فعالیت زمین‌ساختی در کلاس ۲ قرار دارند و مقادیر کمتر از ۳، حوضه‌های دایره‌ای شکل را نشان می‌دهند که از نظر فعالیت، غیرفعال هستند(حمدونی، ایرگاری، فرناندر، چاکون و کلر، ۲۰۰۸، ص. ۱۶۹).

#### جدول ۵- محاسبه شاخص شکل حوضه

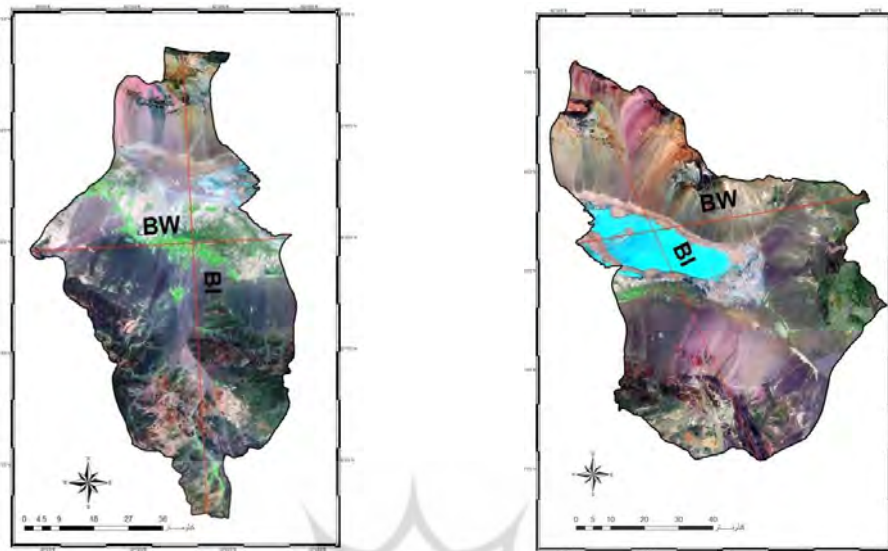
مأخذ: نگارنده، ۱۳۹۲

نام حوضه	BI (M)	BW(M)	BS	کلامن فعالیت
پلاد- خالدآباد	۱۰۰۳۶۶/۴۵	۳۰۱۶۶/۷۳	۳/۳۲	۲
طرق- ایازن	۶۷۱۰۲/۵۳	۳۱۳۸۷/۳۴	۲/۱۳	۳
ارستان	۱۱۵۵۱۵/۷۳	۶۶۶۴۸/۳۹	۱/۷۳	۳
شق سرخ	۱۲۴۳۱۳/۰۹	۸۵۳۹۱/۷۹	۱/۴۵	۳



شکل ۹- شاخص BS، حوضه طرق- ایازن      شکل ۱۰- شاخص BS، حوضه باد- خالدآباد

مأخذ: نگارنده، ۱۳۹۲



شکل ۱۲- شاخص BS، حوضه دق سرخ

مأخذ: نگارنده، ۱۳۹۲

شکل ۱۱- شاخص BS، حوضه اردستان

مأخذ: نگارنده، ۱۳۹۲

#### ۴.۴. شاخص حجم به سطح حوضه

شاخص حجم به سطح حوضه از (رابطه ۱) محاسبه می‌شود.

$$VA = \frac{Vi}{Ai} \quad (3)$$

VA: مقدار عددی شاخص حجم به سطح حوضه

Vi: حجم حوضه

Ai: مساحت حوضه

مقدار عددی زیاد برای این شاخص نشان دهنده پستی و بلندی زیاد و فعالیت شدید زمین ساختی

در منطقه است (هارکینز، ۲۰۰۵، ص. ۴۳).

## جدول ۶- مقادیر شاخص (VA) در حوضه آبریز دق سرخ

مأخذ: نگارنده، ۱۳۹۲

نام حوضه	حداقل ارتفاع (M)	حداقل (M)	حناکتر ارتفاع (M)	حجم حوضه (M³)	مساحت حوضه (M²)	شاخص VA	کلاس تعیین
باد خالد آباد	۹۵۱	۳۸۱۹	/۹۷	۱۱۷۶۷۹۹۳۳۵۴۱۴	۲۰۹۳۴۱۶۲۸۹	/۲۸	۲
طرق ایازن	۱۳۵۳	۳۸۴۵	/۳۲	۹۵۸۸۸۲۹۸۰۴۷۰	۱۲۷۵۸۷۷۷۰۰۸	/۱۵	۱
اردستان	۹۲۶	۳۲۳۲	/۴۴	۲۳۶۳۲۵۳۱۶۴۰۱۹	۲۳۷۳۹۴۲۴۲۴	/۶۴	۲
دق سرخ	۹۲۶	۲۹۰۹	/۱۵	۱۸۹۵۹۰۰۳۶۰۲۰	۶۲۲۰۱۲۶۰۴۷	/۵۶	۳

با دقّت در این شاخص درمی‌باییم که قسمت‌های شمال، شمال غرب و جنوب غرب محدوده مورد مطالعه از نظر تکتونیکی فعال هستند. این قسمت‌ها دقیقاً منطبق بر حوضه‌های باد خالدآباد و طرق ایازن است که به ترتیب دارای کلاس فعالیت ۲ و ۱ هستند. از سوی دیگر بررسی نقشه گسل‌های منطقه فعال بودن این بخش از حوضه را تأیید می‌کند. گسل‌های مهمی نظیر میلاجرد- زفره و کچومتقال در حوضه طرق ایازن، گسل معروف نظرندر در حوضه باد خالدآباد، گسل‌های مارین رنگان، بر گوهر و کچومتقال در نیمه جنوبی حوضه اردستان این محدوده‌ها را از نظر تکتونیکی ناآرام کرده‌اند. تنها پلایای دق سرخ با کمترین مقدار VA (۳۰۴/۸۰) منطقه‌ای غیرفعال از نظر تکتونیکی محسوب می‌شود.

۴. ۵. شاخص تراکم سطحی آبراهه‌ها<sup>۱</sup> (P)

این عامل از تقسیم طول شبکه هیدروگرافی حوضه (شامل شبکه‌های اصلی و فرعی) به مساحت حوضه به دست می‌آید و شاخص مفیدی جهت ارزیابی و شناسایی نشوتکتونیک در حوضه‌های زهکشی محسوب می‌شود. در این شاخص هرچه ضریب تراکم بیشتر باشد، بیانگر تکتونیک فعال و حساسیت زیاد سازنده‌ها و تشکیلات زمین‌شناسی موجود در حوضه است. همچنین نشان از جوان بودن و نرسیدن به مرحله تعادل حوضه زهکشی دارد. این شاخص از (رابطه ۲) محاسبه می‌شود.

1. Drainage Density

$$P = \frac{\Sigma li}{A} \quad (4)$$

در رابطه بالا  $P$ : تراکم زهکشی،  $\Sigma li$ : طول آبراهه به کیلومتر،  $A$ : مساحت حوضه به کیلومتر مربع است.

جدول ۷- محاسبه شاخص  $p$  برای حوضه‌های مورد مطالعه

مأخذ: نگارنده‌گان، ۱۳۹۲

کلاس فعالیت	$P$	$A$	$\Sigma li$	نام حوضه
۱	۰/۶۱	۲۰۹۳/۴۱	۱۲۹۰/۰۸	باد خالد آباد
۲	۰/۵۸	۱۲۷۵/۸۷	۷۴۱/۳۷	طرق لیازن
۳	۰/۵۴	۴۳۷۳/۹۳	۲۳۷۷/۴۸	ارمندان
۳	۰/۵۶	۶۲۲۰/۱۲	۳۵۰۷/۹۸	دق سرخ

#### ۴. ۶. شاخص انشعباب پذیری (Br)

انشعاب پذیری به نسبت تعداد قطعات یک رده به تعداد قطعات مرتبه بالاتر گفته می‌شود. این شاخص به علت تغییرات تصادفی در هندسه حوضه آبریز از مرتبه‌ای به مرتبه دیگر یکسان نخواهد بود، اما تمایل دارد که در تمام سری‌ها ثابت باشد. هرقدر نسبت انشعباب بزرگتر باشد، بیانگر فعالیت تکتونیکی بیشتر و جوان بودن حوضه است. این شرایط باعث افزایش آبراهه‌های رتبه پایین‌تر می‌شود. نسبت انشعباب پایین از خصوصیات حوضه‌هایی است که آشفتگی‌های ساختاری کمتر دارند و الگوی زهکشی در آن‌ها غیرطبیعی نیست. شاخص مورد بحث از (رابطه ۳) به دست می‌آید.

$$\left[ \frac{1}{N-1} \right] BR = \left[ \frac{N_1}{N_2} + \frac{N_2}{N_3} + \dots + \frac{N_{n-1}}{N_n} \right] \quad (5)$$

که در آن  $N_1$ : تعداد شاخه‌های رده یکم،  $N_2$ : تعداد شاخه‌های رده دوم،  $N_3$ : تعداد شاخه‌های رده سوم و  $n$  تعداد شاخه‌های رده  $n$  است.

با توجه به محاسبات صورت گرفته زیرحوضه طرق ابیازن با بیشترین نسبت انشعاب ۵/۴۹ به عنوان فعال‌ترین زیرحوضه و زیرحوضه دق سرخ با کمترین نسبت انشعاب (۱/۹۰) کمترین فعالیت تکتونیکی را نشان می‌دهد.

با دقّت در نقشه‌های زمین‌شناسی و نقشه گسل‌های منطقه صحّت مطالب فوق تایید می‌شود؛ چرا که از زیرحوضه طرق ابیازن که به عنوان فعال‌ترین زیرحوضه شناخته می‌شود، گسل‌های مهمی نظیر میلاجرد- زفره و کچومنقال عبور می‌کنند. زیرحوضه دق سرخ به عنوان پلایا، بدون داشتن گسل مهمی شرایطی کاملاً آرام و غیرفعال دارد.

#### جدول ۸- محاسبه شاخص انشعاب پذیری (BR)

مأخذ: نگارنده، ۱۳۹۲

کلاس فعالیت	BR	N5	N4	N3	N2	N1	رتبه تبراهه
							نام حوضه
۲	۳/۹۰	۳	۲۳	۸۱	۱۸۸	۳۹۸	پلد خالد آباد
۳	۵/۴۹	۴	۶۶	۵۶	۱۰۸	۲۹۲	خرق ابیازن
۱	۱/۹۰	۸۹	۱۷۶	۱۸۵	۴۷۸	۱۰۴۲	اردستان



شکل ۱۴- نقشه شاخص BR

حوضه باد- خالدآباد

مأخذ: نگارنده، ۱۳۹۲



شکل ۱۳- نقشه شاخص BR

حوضه اردستان

مأخذ: نگارنده، ۱۳۹۲



شکل ۱۶- نقشه شاخص BR

حوضه طرق ابیازن  
مأخذ: نگارنده، ۱۳۹۲



شکل ۱۵- نقشه شاخص BR

حوضه دق سرخ  
مأخذ: نگارنده، ۱۳۹۲

##### ۵. نتیجه‌گیری و پیشنهادها

در این پژوهش به علت ویژگی‌های زمین‌شناسی و ژئومورفولوژی متفاوت حوضه آبخیز اردستان و وجود سه واحد ژئومورفولوژیک کاملاً واضح (کوهستان، دشت سر، پلایا)، محدوده مطالعاتی به ۴ زیرحوضه تقسیم شد. پس از آن فعالیت‌های زمین‌ساختی منطقه با استفاده از ۶ شاخص ژئومورفیک، مبتنی بر مورفولوژی حوضه و شبکه زهکشی ارزیابی شد. برای نیل به این مقصود از شاخص ارزیابی نسبی فعالیت‌های تکتونیکی<sup>۱</sup> (Lat) استفاده شد که از (رابطه ۴) به دست می‌آید.

$$\text{Lat} = \frac{S}{N} \quad (۶)$$

$\text{Lat}$  = شاخص ارزیابی نسبی فعالیت‌های تکتونیکی،  $S$  = مجموع کلاس‌های شاخص‌های ژئومورفیک محاسبه شده و  $N$  = تعداد شاخص‌های محاسبه شده طبقات مختلف شاخص Lat به صورت زیر است (الحمدونی، ایرگاری، فرناندر، چاکون و کلر، ۲۰۰۸، ص. ۱۷۱):

1. Index of Relative Active Tectonic

$2 < Lat < 1/5$  فعالیت زمین ساختی شدید،  $1/5 \leq Lat \leq 2/5$  فعالیت تکتونیکی زیاد،  $2/5 < Lat < 2 >$

فعالیت زمین ساختی متوسط،  $2/5 \leq Lat \leq 2$  فعالیت‌های کم و ناچیز.

#### جدول ۹- محاسبه شاخص $Lat$ برای محدوده مطالعاتی

مأخذ: نگارنده، ۱۳۹۲.

نام حوضه	HI	SMF	BS	VA	P	BR	LAT	کلاس فعالیت
باد خالد آباد	۳	۲	۲	۲	۱	۲	۲	فعالیت تکتونیکی زیاد
طرق لیبان	۱	۱	۳	۲	۲	۳	۱/۸۳	فعالیت تکتونیکی زیاد
ارصلان	۲	۲	۳	۲	۳	۱	۲/۱۶	فعالیت زمین ساختی متوسط
دقی سرخ	۳	۲	۳	۳	۳	۱	۲/۵	فعالیت زمین ساختی متوسط

نتایج (جدول ۹) نشان می‌دهد که بخش‌های شمال غرب و جنوب غرب محدوده مطالعه از نظر تکتونیک بسیار فعال‌تر از قسمت‌های مرکزی و شرقی حوضه است. به‌گونه‌ای که شاخص (Lat) بیانگر فعالیت زیاد در حوضه طرق‌لیبان و باد خالدآباد و میزان فعالیت زمین‌ساختی متوسط در حوضه‌های اردستان و دق سرخ است.

(شکل ۴) موقعیت تکتونیکی منطقه و نقشه گسل‌های موجود در حوضه اردستان و حوضه‌های مجاور را بر مبنای نقشه‌های زمین‌شناسی ۱/۱۰۰۰۰۰ نشان می‌دهد. گسل‌های موجود در نقشه با یافته‌ها و محاسبات شاخص  $Lat$  منطبق است، به‌گونه‌ای که بخش‌های شمال غرب و غرب محدوده مطالعاتی بیشترین فراوانی گسل‌ها را داشته و دقیقاً در همین محدوده بالاترین شاخص  $Lat$  به دست آمده است. به نظر می‌رسد فعالیت بخش‌های شمال غرب و جنوب غرب، به عبور گسل‌های مهم قم – زفره و نظر مربوط می‌شود. این در حالی است که در قسمت‌های مرکزی و شرقی حوضه که کمترین تراکم گسل‌ها را دارند، پایین‌ترین میزان  $Lat$  به دست آمده است.

#### کتاب‌نامه

۱. امریان چافجیری، م. ر، قرشی، م. (۱۳۸۹). برآورد جنبایی حاشیه شمالی البرز میان چالوس تا رود سر بر پایه شاخص‌های مورفو-تکتونیکی (شاخص‌های سه بعدی). *فصلنامه زمین*، ۵(۱)، ۷۸-۹۴.
۲. حقی‌پور، ن. (۱۳۸۶). بررسی ریخت زمین‌ساختی گستره که داغ- بینالود بر پایه شاخص‌های گرادیان شبیب رود و هیپسومتری. *فصلنامه علوم زمین*، ۱۷(۲۹)، ۶۴-۱۹.

۳. خطیبی بیاتی، م (۱۳۸۸). تشخیص فعالیت‌های نئوتکتونیکی در حوضه آبریز قرقوچای با استفاده از شاخص‌های ژئومورفیک و مورفو-تکتونیک. *فضای جغرافیایی*، ۹(۲۵)، ۵۰-۲۳.
۴. خیازی، م. (۱۳۹۱). بررسی پالئوزئومورفولوژی کویر دق سرخ. (رساله متنشر نشده دکتری ژئومورفولوژی)، دانشگاه اصفهان، ایران.
۵. خیام، م.، مختاری کشکی، د. (۱۳۸۲). ارزیابی عملکرد فعالیت‌های تکتونیکی بر اساس مرفلولوژی مخروطه افکنه‌ها. *پژوهش‌های جغرافیایی*، ۴۴، ۱۰-۱.
۶. رادفر، ش.، پورکرمانی، م. (۱۳۸۴). ریخت زمین ساخت گسل کوهبنان. *مجله علوم زمین*، ۱۵(۵۸)، ۷۰-۹۹.
۷. رجبی، م.، روستایی، ش.، مقامی مقیم، غ. (۱۳۸۵). تحلیل فعالیت‌های نئوتکتونیکی در دامنه‌های جنوبی ارتفاعات آلاذغ در شمال شرقی ایران. *جغرافیا و توسعه*، ۱، ۱۹۱-۱۷۷.
۸. زرگرزاده، م.، رنگرن، ک.، چرچی، ع.، آبشیرینی، ا. (۱۳۸۸). کاربرد GIS و شاخص‌های ژئومورفیک در پهنه‌بندی تکتونیک فعال زون زاگرس. *مجموعه مقالات همایش ژئوماتیک*. ۲۰ اردیبهشت ۱۳۸۸ (صص. ۱۰-۱). تهران.
۹. سلیمانی، ش. (۱۳۷۸). *رهنمودهایی در شناسایی حرکات تکتونیکی فعال و جوان با نگرشی بر مقدمات دیرینه لرزه شناسی*. چاپ اول. تهران: انتشارات موسسه بین‌المللی زلزله‌شناسی و مهندسی زلزله.
۱۰. کرمی، ف. (۱۳۸۸). ارزیابی ژئومورفیک فعالیت‌های تکتونیکی در حوضه زهکشی سعیدآباد چای. *پژوهش‌های جغرافیای طبیعی*، ۷۹، ۸۲-۶۷.
۱۱. مختاری کشکی، د. (۱۳۷۶). *تحلیل برخی از مسائل مورفو-دینامیک دامنه شمالی میشو و دشت سیلانی کشکسرای*. (پایان‌نامه متنشر نشده کارشناسی ارشد جغرافیا). دانشگاه تبریز، ایران.
۱۲. مختاری کشکی، د. (۱۳۷۹). آسیب پذیری سکونتگاه‌های واقع در مسیر خطوط گسل و عمران روستایی مجله مسکن و انقلاب. ۹۲ و ۷۴-۷۰.
۱۳. مددی، ع.، رضایی مقدم، م. ح.، رجایی، ع. (۱۳۸۳). تحلیل فعالیت‌های نئوتکتونیک با استفاده از روش‌های ژئومورفولوژی در دامنه‌های شمال غربی تالش (باگروداغ). *پژوهش‌های جغرافیایی*، ۳۶(۵۰)، ۱۳۸-۱۲۳.
۱۴. یمانی، م.، باقری، س.، جعفری اقدم، م. (۱۳۸۹). تاثیر نوزمین ساخت در مورفولوژی آبراهه‌های حوضه چله (زاگرس غربی). *محیط جغرافیایی*، ۱(۱)، ۸۲-۶۷.

15. Amerson, B. E., Montgomery, D. R., & Meyer, G. (2007). Relative size of fluvial and glaciated valleys in central Idaho. *Geomorphology*, 93(3), 537-547.
16. Andeson, J. G., Brune, J. N., Anooshehpoor, R., & Ni, S. D. (2000). New ground motion data and concepts in seismic hazard analysis. *Current Science Bangalore*, 79(9), 1278-1290.
17. Bull, W. B., & McFadden, L. D. (1977). Tectonic geomorphology north and south of the Garlock fault, California. In D. O. Doebring, D.O. (Ed.), *Geomorphology in Arid Regions. Proceedings of the Eighth Annual Geomorphology Symposium* (pp. 115-138). Binghamton: State University of New York.
18. Burbank, D. W., & Anderson, R. S. (2000). *Tectonic Geomorphology*. UK: Blackwell Publisher
19. El Hamdouni, R., Irigaray, C., Fernández, T., Chacón, J., & Keller, E. A. (2008). Assessment of relative active tectonics, southwest border of the Sierra Nevada (southern Spain). *Geomorphology*, 96(1), 150-173.
20. Guarnieri P., & Pirrotta, C. (2008). The response of drainage basins to the late Quaternary tectonic in the Sicilian side of the Messina Strait (NE Sicily). *Geomorphology*, 95(3), 260-273.
21. Hesami, K., Pantosti, D., Tabassi, H., Shabanian, E., Abbassi, M. R., Feghhi, K., & Solaymani, S. (2003). Paleo earthquakes and slip rates of the North Tabriz Fault, NW Iran. *Annals of Geophysics*, 46(5), 903-915.
22. Keller E. A., & Pinter, N. (1996). *Active tectonics*. New Jersey: Prentice Hall Inc.
23. Ramirez, H. (1998). Geomorphic assessment of active tectonics in the Acambay Graben, Mexican volcanic belt. *Earth Surface Processes and Landforms*, 23(4), 317-332.
24. Silva P. G., Goy, J. L., Zazo, C., & Baradaji, T. (2003). Fault-generated mountain front in southeast Spain: geomorphic assessment of tectonic and seismic activity. *Geomorphology*, 50(1), 203-225.